- Сидоров, А.А. Проблемы социальной адаптации слабослышащих и глухих в рамках получения стоматологической помощи / А.А. Сидоров, Н.Н. Бондаренко // Современные проблемы науки и образования. – 2014. – № 5. – С. 482.
- Распространенность и интенсивность кариеса и болезней пародонта у инвалидов по слуху в Пензенском регионе. Суворова М.Н. [и др.] // Известия вузов. Поволжский регион. Медицинские науки. – 2015. – №4. – С. 115-120.

#### REFERENCES

- Baimiev Al.X [et al.] Quantitative analysis of the microbiota of periodontal pockets and saliva by real-time PCR before and after periodontitis treatment. Molecular genetics, microbiology and virology. 2017;35(3):103-107. (In Russ.)
- Volkov A. N. Approbation of a test system for simultaneous PCR analysis of five periodontopathogenic microorganisms in a biological sample. MvK. 2014;(4):13-18. (In Russ.)
- Davydova M.M., Plakhtiy L.Ya., Tsarev V.N. Metody mikrobiologicheskogo issledovanija, primenjaemye v stomatologii (Methods of microbiological research used in dentistry). Mikrobiologija, virusologija i immunologija polosti rta (Microbiology, virology and immunology of the oral cavity). pod red. prof. V.N. Careva. Moscow: GJeOTAR-Media. 2013:223—273. (In Russ.)
- 4. Sidorov A.A., Bondarenko N.N. Problems of social adaptation of the hard of hearing and deaf in the framework of receiving dental care. Modern problems of science and education. 2014;(5):482. (In Russ.)
- Suvorova M.N. [et al.] The prevalence and intensity of caries and periodontal diseases in the hearing impaired in the Penza region. Izvestiya vuzov. The Volga region. Medical sciences. 2015;36(4):115-120. (In Russ.)

УДК 616.12-079.97:[616.98:578.834.1-06:616.24-002] © Т.И. Мусин, З.А. Багманова, Н.Ш. Загидуллин, 2024

Т.И. Мусин<sup>1,2</sup>, З.А. Багманова<sup>1</sup>, Н.Ш. Загидуллин<sup>1</sup>

# Ј-ВОЛНА НА ЭКГ У БОЛЬНЫХ COVID-19-АССОЦИИРОВАННОЙ ПНЕВМОНИЕЙ: КАЧЕСТВЕННЫЙ И КОЛИЧЕСТВЕННЫЙ АНАЛИЗ, ТОПОГРАФИЧЕСКАЯ ХАРАКТЕРИСТИКА

<sup>1</sup>ФГБОУ ВО «Башкирский государственный медицинский университет» Минздрава России, г. Уфа

<sup>2</sup>ФГБУ «Национальный медицинский исследовательский центр кардиологии имени академика Е.И. Чазова» Минздрава России, г. Москва

*Цель* – провести качественный и количественный анализ электрокардиограмм (ЭКГ) пациентов с COVID-19-ассоциированной пневмонией (COVID-19-AП) с зарегистрированной Ј-волной (J) и оценить взаимосвязь ширины комплекса QRS и длительности корригированного интервала QT (QTc) при наличии и отсутствии J у пациентов с COVID-19-AП.

Материал и методы. Среди 386 пациентов госпиталя COVID-19 были отобраны 47 больных с COVID-19-АП с J, которые составили основную группу. Средний возраст пациентов составил  $62\pm10,5$  года (58-72,5), преобладали лица женского пола – 35 (74,5%) больных. 339 больных COVID-19-АП без J составили контрольную группу, средний возраст –  $58\pm9,5$  года (48,5-66), преобладали лица женского пола – 195 больных (57,5%). Всем проведена ЭКГ.

Выводы. Среди больных COVID-19-АП с J-волной в половине случаев она регистрировалась в нижних отведениях (II, III, aVF − 51,1%), у другой половины больных − в боковых отведениях (I, V5, V6 − 48,9%). Ширина комплекса QRS и длительность корригированного интервала QT среди больных COVID-19-АП были достоверно больше в группе пациентов с J по сравнению с больными без J.

Ключевые слова: COVID-19-ассоциированная пневмония, J-волна, электрокардиография.

T.I. Musin, Z.A. Bagmanova, N.Sh. Zagidullin

# J-WAVE ON ECG IN PATIENTS WITH COVID-19-ASSOCIATED PNEUMONIA: QUALITATIVE AND QUANTITATIVE ANALYSIS, TOPOGRAPHICAL CHARACTERISTICS

Objective. To conduct a qualitative and quantitative analysis of electrocardiograms (ECG) of patients with COVID-19-associated pneumonia (COVID-19-AP) with a registered J-wave (J) and to evaluate the relationship between the width of the QRS complex and the duration of the corrected QT interval (QTc) in the presence and absence of J in patients with COVID-19-AP.

Material and methods. Out of 386 patients in the COVID hospital, 47 patients with COVID-19-AP with J were selected and they formed the main group. The average age of patients was 62±10.5 years (58-72.5) old, females predominated – 35 patients (74.5%). 339 patients with COVID-19-AP without J formed the control group. The average age was 58±9.5 years (48.5-66) old, females predominated - 195 patients (57.5%). All underwent ECG.

Conclusions. Among patients with COVID-19-AP with J, in half of the cases J was recorded in the inferior leads (II, III, aVF - 51.1%), in the other half of the patients – in the lateral leads (I, V5, V6 - 48.9%). 2) The width of the QRS complex and the duration of the corrected QT interval among patients with COVID-19-AP were significantly greater in the group of patients with J compared to patients without J.

Key words: COVID-19-associated pneumonia, J-wave, electrocardiography.

Течение COVID-19-ассоциированной пневмонии может сопровождаться развитием тяжелых нарушений ритма сердца (HPC) и высокой летальностью. Среди пациентов отделения реанимации у каждого четвертого отмечаются желудочковая тахикардия (ЖТ) или фибрилляция желудочков (ФЖ). Наиболее

известной причиной жизнеугрожающих НРС являются каналопатии, вызванные изменением распределения ионов Na<sup>+</sup>, K<sup>+</sup> и Ca<sup>++</sup>, обусловленным нарушением работы Na/K и Са насосов в клетках сердца. Вследствие патологической динамики трансмембранного потенциала происходит изменение длительности

процессов деполяризации и реполяризации, что проявляется удлинением интервалов ОТ, QTc на ЭКГ, у части больных – возникновением на нисходящем колене зубца R добавочной волны, что трактуется в современной литературе как зубец Осборна или Ј-волна. Впервые Ј-волна описана у пациентов с гипотермией [3], впоследствии – при остром нарушении мозгового кровообращения, ишемической болезни сердца (ИБС) [1], гиперкальциемии, а также при острой COVID-19-ассоциированной пневмонии (АП) [2]. Однако в литературе недостаточно данных о топографическом анаэлектрокардиограмм лизе пациентов COVID-19 с J-волной.

Цель исследования — провести качественный и количественный анализ электрокардиограмм (ЭКГ) пациентов с COVID-19-ассоциированной пневмонией (COVID-19-АП) с зарегистрированной Ј-волной (J) и оценить взаимосвязь ширины комплекса QRS и длительности корригированного интервала QT (QTc) при наличии и отсутствии J у пациентов с COVID-19-АП.

## Материал и методы

Из 386 пациентов госпиталя-COVID-19 были последовательно отобраны 47 пациентов с COVID-19-АП с Ј-волной на ЭКГ, и которые составили основную группу. Исходно критериями исключения являлись инфаркт миокарда или инсульт в анамнезе, хроническая сердечная недостаточность 3-4-го функциональ-

ного класса, полные блокады правой и левой ножек пучка Гиса, нарушения электролитного обмена по данным биохимического анализа крови, хроническая болезнь почек (ХБП) IV ст. Средний возраст пациентов основной группы составил  $62,0\pm10,5$  года (58-72,5), в этой группе в подавляющем большинстве были женщины – 35 (74,5%).

В группу контроля вошли 339 пациентов с COVID-19-АП, сопоставимых по полу и возрасту, но без достоверных проявлений на ЭКГ в виде Ј-волны в течение всего срока госпитализации. Средний возраст больных в группе контроля составил 58,0±9,5 года (48,5-66), преобладали лица женского пола — 195 больных (57,5%). Всем больным проведена 12-канальная ЭКГ в покое при поступлении в стационар и при выписке.

Статистический анализ проводился с помощью программы Statistica 10.0. Показатели представлены в виде среднего (Ме) и стандартного отклонений (SD). Результаты оценивались как статистические значимые при уровне различий p<0,05.

# Результаты и обсуждение

Сравнительная оценка результатов ЭКГ у больных СОVID-19-АП выявила наличие Ј на ЭКГ среди 47 из 386 (12,2%). В половине случаев Ј наблюдалась в нижних отведениях II, III, aVF (51%) и у другой половины больных Ј-волна регистрировалась в боковых отведениях I, V5, V6 (48,9%) (табл. 1).

Таблица 1

Топографическая	характеристика Ј-во	олны и нарушения реполяр	изации на ЭКГ у (	больных	COVID-19-AΠ	
еления ЭКГ/ вилы		Отринательный зубен Т	Полъём сегмен	та СТ	Смешение сегмента ST	

Отведения ЭКГ/ виды	J-волна, n (%)	Отрицательный зубец Т,	Подъём сегмента ST,	Смещение сегмента ST
нарушения реполяризации	<b>3-в</b> олна, п (70)	n (%)	n (%)	ниже изолинии, п (%)
I	22/47 (46,8)	2/47 (4,2)	-	1/47 (2,1)
П	10/47 (21,2)	10/47 (21,2)	1/47 (2,1)	1/47 (2,1)
III	24/47 (51,0)	10/47 (21,2)	1/47 (2,1)	1/47 (2,1)
aVF	24/47 (51,0)	4/47 (8,5)	-	-
aVL	-	7/47 (14,9)	-	-
V1	-	-	2/47 (4,2)	-
V2	-	4/47 (8,5)	6/47 (12,8)	1/47 (2,1)
V3	-	5/47 (10,6)	6/47 (12,8)	2/47 (4,2)
V4	-	4/47 (8,5)	2/47 (4,2)	2/47 (4,2)
V5	6/47 (12,7)	4/47 (8,5)	1/47 (2,1)	2/47 (4,2)
V6	23/47 (48,9)	4/47 (8,5)	-	-

Примечание. Данные представлены в виде значений медианы и стандартного отклонения ( $M\pm SD$ ). Значение р <0,05 считалось статистически значимым.

Необходимо отметить, что при топографическом анализе Ј-волны у больных COVID-19-АП с летальным исходом (7/47, 14,9%) такие изменения ЭКГ отслеживались в нижних отведениях II, III, aVF в большинстве случаев (86%). Только у 1 из 7 умерших больных (14%) Ј-волна определялась в боковых отведениях I, aVL.

Длительность интервала QRS у больных COVID-19-АП с Ј-волной была больше длительности интервала QRS у больных COVID-19-АП без Ј ( $\rho$ =0,005) (см. рисунок), что, по-

видимому, было связано с наличием J как конечной части комплекса QRS.

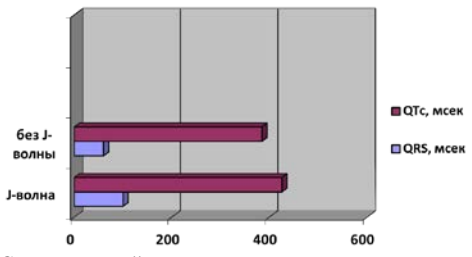


Рис. Сравнительный анализ продолжительности интервалов QRS и QTc у больных COVID-19-АП с J и COVID-19-АП без J

При анализе длительности корригированного интервала QT у больных COVID-19-АП с J отмечалось значимое его удлинение по сравнению с группой больных COVID-19-АП без J и в среднем составила 426 мс и 385 мс, соответственно ( $\rho$ <0,001) (табл. 2).

Таблица 2 Сравнительный анализ длительности QRS и QTc, изменения реполяризации у больных COVID-19-AП с J и COVID-19-AП без J

Параметры ЭКГ	Группа больных COVID-19-АП с J-волной (n=47)	Группа больных COVID-19-АП без J-волны (n=339)	р-уровень
QRS, MC	100 (80; 100)	60 (60; 80)	0,005
QТс, мс	426 (393; 457)	385 (362; 413)	< 0.001
Инверсия зубца Т, п (%)	18 (38,3)	18 (5,3)	< 0.001
Подъём сегмента ST, n (%)	7 (14,9)	2 (0,6)	0,161
Смещение сегмента ST ниже изолинии, n (%)	5 (10,6)	1 (0,3)	0,223

Примечание. QTc рассчитывалась по формуле Bazett. Данные представлены в виде значений медианы и стандартного отклонения (M±SD). Значение р <0,05 считалось статистически значимым.

Можно было бы предположить влияние применяемых лекарственных препаратов на длительность интервала QT. У больных СОVID-19-АП с J и летальным исходом длительность интервала QRS больше 100 мс отмечалась у 3 из 7 (43%) больных. При анализе длительности корригированного интервала QT отмечалось его удлинение до 470 мс у 1 больного из 7 (14%). Благодаря одинаково проводимой этиотропной терапии больных СОVID-19-АП с J и без J согласно «Временным рекомендациям диагностики и лечения новой коронавирусной инфекции», 2020 г., а также сходную активность ферментов крови (АСТ, АЛТ, КФК) и СКФ, такой побочный электрофизиологический эффект у больных СОVID-19-АП с J исключается. В то же время в исследование не включали больных с острым коронарным синдромом и с острым инфарктом миокарда, а неспецифические нарушения реполяризации в виде смещения ST относительно изолинии встречались у четверти больных COVID-19-АП с J (25,5%), чаще по передним отведениям ЭКГ, чем по нижним отведениям. При сравнении с больными СОVID-19-АП без J у больных СОVID-19-АП с J небольшой подъём сегмента ST регистрировались у 7 из 47 больных (14,9%) (р<0,001) и смещение сегмента ST вниз у 5 из 47 больных (10,6%)(p<0,001). В группе больных СОVID-19-АП без J изменения реполяризации отмечались в единичных случаях.

Подъём сегмента ST отмечался только в передних отведениях (12,8%) в том случае, если сама Ј-волна фиксируется в нижних отведениях ЭКГ, что может быть связан со вторичным ассоциированным миоперикардитом. Так, согласно данным литературы, непосредственное влияние вируса SARS-CoV-2 выражается в отёке миокарда [4]. Также можно учитывать смещение сегмента ST в верхушечных отведениях ЭКГ (4,2%), свободных от Ј в группе COVID-19-АП с Ј, что, вероятно, связано с похожим патогенетическим механиз-

мом неишемического поражения миокарда. По данным [5] предполагается, что подъем точки Ј в нижних отведениях представляет собой умеренно выраженный аритмогенный субстрат, который способствует развитию полиморфной желудочковой аритмии, но только в ответ на ранние экстрасистолы. В своем исследовании R. Rosso и соавт. [6] сравнивали ЭКГ 45 пациентов с идиопатической фибрилляцией желудочков (ФЖ) (средний возраст  $38\pm15$  лет) с ЭКГ 124 здоровых людей того же возраста, и ЭКГ 121 молодого спортсмена (от 17 до 19 лет, 50% из них были мужчины) [6]. Было показано, что Ј-волна чаще наблюдалась у пациентов с идиопатической ФЖ, чем у обследуемых контрольной группы (42% против 13%, p<0,001). Распределение Ј по отведениям ЭКГ было таким: в нижних отведениях II, III, aVF (27% против 8%, p = 0.006), в высокобоковых I, aVL (13% против 1%, p = 0.009), в боковых отведениях V4-V6 происходило с одинаковой частотой у пациентов и здоровых лиц в контрольной группе (6,7% против 7,3%, p = 0.86). C. Antzelevitch и др. [7,8] указали, что тип 2 СРР демонстрирует паттерн РР преимущественно в нижних или нижнебоковых отведениях и связан с более высоким уровнем риска внезапной сердечной смерти - многочисленные случаи идиопатической ФЖ имеют эту электрокардиографическую картину [7,8].

Согласно исследованию других авторов [9] распространенность и прогностической значимости Ј в общей популяции из 10 864 человек в возрасте 44±8 лет была выявлена взаимосвязь Ј с провокацией фатальных нарушений ритма сердца у лиц среднего возраста. Повышение точки Ј >0,1 мВ над изолинией в нижних отведениях было связано с повышенным риском смерти от сердечных причин. Повышение точки Ј >0,2 мВ над изолинией в нижних отведениях наблюдалось в 0,3% случаев и повышало относительный риск смерти от сердечных причин в 2,98 раза (р<0,001) [10].

#### Выволы

1. Среди больных COVID-19-АП с J в половине случаев J регистрировалась в нижних отведениях (II, III, aVF - 51,1%), у другой половины больных - в боковых отведениях (I, V5, V6 - 48,9%).

2. Ширина комплекса QRS и длительность корригированного интервала QT у больных COVID-19-AП были достоверно больше в группе пациентов с J по сравнению с больными без J.

#### Сведения об авторах статьи:

Мусин Тимур Ильгамович – м.н.с. отдела новых методов диагностики ФГБУ НМИЦ кардиологии им. академика Е.И. Чазова, аспирант кафедры пропедевтики внутренних болезней ФГБОУ ВО БГМУ Минздрава России. Адрес: 121552, г. Москва, ул. академика Чазова, 15A. E-mail: tmusinprivate@gmail.com.

**Багманова Зиля Адибовна** – д.м.н., доцент, профессор кафедры пропедевтики внутренних болезней ФГБОУ ВО БГМУ Минздрава России. Адрес: 450008, г. Уфа, ул. Ленина, 3. E-mail: zilya20641@yandex.ru.

Загидуллин Науфаль Шамилевич – д.м.н., профессор, зав. кафедрой пропедевтики внутренних болезней ФГБОУ ВО БГМУ Минздрава России. Адрес: 450008, г. Уфа, ул. Ленина, 3. E-mail: znaufal@mail.ru.

## ЛИТЕРАТУРА

- Багманова З.А. Случай выявления на электрокардиограмме в виде зубца Осборна у больного с перенесенным инфарктом миокарда / З.А. Багманова, В.Г. Руденко, Т.И. Мусин // Кардиология. – 2016. – №4. – С.53-56.
- Случай выявления изменений электрокардиограммы в виде зубца Осборна при новой коронавирусной инфекции / Т.И. Мусин [и др.]. // Российский кардиологический журнал. 2021. №26. С.68-73.
- Gussak I. Early repolarization syndrome: clinical characteristics and possible cellular and ionic mechanisms / I. Gussak, C. Antzelevitch // J Electrocardiol. – 2000. – Vol. 33. – P. 299-309. doi: 10.1054/jelc.2000.18106
- 4. Плеврит и перикардит как причина атипичной боли в грудной клетке у пациентов в раннем периоде после COVID-19 / 3.H. Сукмарова [и др.] // Медицинская визуализация. 2022. Т.26, № 4. С.11-22. https://doi.org/10.24835/1607-0763-1232
- 5. Yan G. X. Cellular basis for the electrocardiographic J wave. / G.X. Yan, C. Antzelevitch // Circulation. − 1996. № 2 (93). C. 372–9
- 6. J-point elevation in survivors of primary ventricular fibrillation and matched control subjects: incidence and clinical significance. / R. Rosso [et al.] // Journal of the American College of Cardiology. − 2008. − № 15 (52). − C. 1231-8.
- Sudden cardiac arrest associated with early repolarization. / M. Haïssaguerre [et al.] // The New England journal of medicine. 2008. № 19 (358). C. 2016-23.
- Kalla H. Ventricular fibrillation in a patient with prominent J (Osborn) waves and ST segment elevation in the inferior electrocardiographic leads: a Brugada syndrome variant? / H. Kalla, G.X. Yan, R. Marinchak // Journal of cardiovascular electrophysiology. – 2000. – № 1 (11). – C. 95-8.
- 9. Енисеева Е.С. Ранняя реполяризация желудочков: критерии диагноза, стратификация риска / Е.С. Енисеева, Г.П. Гуртовая // Сибирский медицинский журнал (Иркутск). 2019. № 4 (159). С. 26-30.
- 10. Клинические и морфологические изменения в миокарде у пациентов с постковидным синдромом / С.В. Майрина [и др]. // Российский кардиологический журнал. 2023. № 11 (28). С. 5582.

### REFERENCES

- 1. Bagmanova Z.A., Rudenko V.G., Musin T.I. A case of detection of an Osborne wave on an electrocardiogram in a patient with a history of myocardial infarction. Cardiology. 2016;4:53-56. (In Russ)
- 2. Musin T.I. [et al.] The case of detecting changes in the electrocardiogram in the form of an Osborne wave during a new coronavirus infection. Russian Cardiology Journal. 2021;26:68-73. (In Russ)
- 3. Gussak I., Antzelevitch C. Early repolarization syndrome: clinical characteristics and possible cellular and ionic mechanisms. J Electrocardiol. 2000; 33: 299-309. doi: 10.1054/jelc.2000.18106 (In Engl)
- 4. Sukmarova Z.N. [et al.] Pleurisy and pericarditis as a cause of atypical chest pain in patients with in early post-COVID-19 period. Medical Visualization. 2022;26(4):11-22. https://doi.org/10.24835/1607-0763-1232 (In Russ.)
- 5. Yan G. X., Antzelevitch C.Cellular basis for the electrocardiographic J wave. Circulation. 1996; 2 (93):372–9 (In Engl)
- 6. Rosso R. [et al.] J-point elevation in survivors of primary ventricular fibrillation and matched control subjects: incidence and clinical significance. Journal of the American College of Cardiology. 2008;15 (52):1231–8 (In Engl)
- 7. Haïssaguerre M. [et al.] Sudden cardiac arrest associated with early repolarization. The New England journal of medicine. 2008; 19 (358): 2016–23. (In Engl)
- 8. Kalla H., Yan G.X., Marinchak R. Ventricular fibrillation in a patient with prominent J (Osborn) waves and ST segment elevation in the inferior electrocardiographic leads: a Brugada syndrome variant? Journal of cardiovascular electrophysiology. 2000;1(11):95–8. (In Engl)
- Eniseeva E.S., Gurtovaya G.P. Early repolarization of the ventricles: the criteria for diagnosis, risk stratification. Sibirskij Medicinskij Zurnal (Irkutsk). 2019;4(159):26–30. (In Russ.)
- Mayrina S.V. [et al.] Clinical and morphological myocardial changes in patients with post-COVID-19 syndrome. Russian Journal of Cardiology. 2023;28(11):5582. (In Russ.)